



## پایدارسازی زاویه‌ای کوادرورتور با استفاده از کنترل کننده فازی تطبیقی تناسبی-انتگرالی-مشتقی

حسین چهاردولی<sup>۱\*</sup>، علی قاسمی<sup>۲</sup>، سپهر فرد رهنما<sup>۲</sup>

<sup>۱</sup> دانشکده مهندسی، گروه مهندسی مکانیک، دانشگاه آیت‌الله بروجردی، بروجرد، ایران

<sup>۲</sup> دانشکده فنی و مهندسی، دانشگاه آزاد اسلامی واحد تهران شمال، تهران، ایران

### تاریخچه داوری:

دریافت: ۱۳۹۸/۰۵/۲۲

بازنگری: ۱۳۹۸/۱۰/۰۶

پذیرش: ۱۳۹۸/۱۱/۰۶

ارائه آنلاین: ۱۳۹۸/۱۱/۱۳

### کلمات کلیدی:

کوادرورتور

کنترل زاویه

کنترل کننده فازی

سخت‌افزار در حلقه

اغتشاش خارجی

**خلاصه:** کوادرورتور یک ربات پرنده بدون سرنشیین از دسته پهپادهای چند ملخه است که قابلیت مانورپذیری بسیار بالا، نشت و برخاست عمودی و پرواز ساکن در هوا را دارد. با این حال، دینامیک غیرخطی و زیرتحریک کوادرورتور نیازمند کنترل کننده‌های پیشرفته‌تری برای غلبه بر اغتشاش‌های خارجی، حفظ تعادل و دیابی دقیق مسیر پرواز است. در اغلب کاربردها، سیستم دینامیکی کوادرورتور در معرض نیروهای اغتشاشی ناشی از وزش باد و نامتوازنی وزن یا اینرسی ناشی از حمل بار است. برای حفظ تعادل و ثابتیت موقعیت، پایدارسازی زاویه‌ای کوادرورتور در حضور نیروهای اغتشاشی و نامتوازنی ها ضروری است. استفاده از کنترل کننده‌های سنتی با بهره‌های کنترلی ثابت برای حذف اغتشاش‌های متغیری که در شرایط متفاوت به سیستم دینامیکی کوادرورتور وارد می‌شوند چندان کارآمد نیست. در مقاله حاضر یک کنترل کننده فازی تطبیقی تناسبی-انتگرالی-مشتقی برای پایدارسازی زاویه‌ای کوادرورتور طراحی شده که در آن بهره‌های کنترلی بر مبنای عملکرد قانون تطبیق و سیستم فازی به طور پیوسته تنظیم می‌شوند. عملکرد کنترل کننده طراحی شده در شبیه‌سازی یک آزمون غلبه بر نامتوازنی وزنی برسی و با کنترل کننده سنتی تناسبی-انتگرالی-مشتقی مقایسه شده است. همچنین عملکرد کنترل کننده طراحی شده با استفاده از یک استند آزمایشگاهی سه درجه آزادی در یک آزمون تجربی به روش سخت‌افزار در حلقه مورد اعتبارسنجی قرار گرفته است.

### ۱- مقدمه

حرکت رو به جلو ایجاد می‌شود. در پهپادهای بال-چرخان نیروی بالابرندۀ مستقیما در اثر چرخش بال و ایجاد هوای فشرده در زیر بال تأمین می‌شود. مهم‌ترین مزیت پهپادهای بال-چرخان قابلیت نشست و برخاست عمودی<sup>۲</sup>، پرواز ساکن<sup>۳</sup> و مانورپذیری بالا است [۲]. مولتی‌کوپترها<sup>۴</sup> یا همان پهپادهای چندملخه رایج‌ترین نوع پهپادهای بال-چرخان هستند. کوادرورتور یک پهپاد چندملخه با چهار موتور محرك است که حرکت در شش درجه آزادی را فراهم می‌کند. در واقع، کوادرورتور یک ساختار حرکتی زیرتحریک<sup>۵</sup> دارد که در آن حرکت انتقالی در صفحه افقی وابسته به مانورهای چرخشی رول

پرنده هدایت‌پذیر از دور یا همان پهپاد نامی است که به ربات‌های پرنده بدون سرنشیین<sup>۱</sup> داده‌اند. امروزه پهپادها کاربردهای شهری بسیاری پیدا کرده‌اند. مهم‌ترین کاربردهای شهری پهپادها تصویربرداری هوایی، حمل بار، تحویل بسته و بازرگانی زیرساخت‌های عمومی شهری است [۱]. پهپادها بر اساس ساختار حرکتی به دو دسته اصلی تقسیم می‌شوند: پهپادهای بال-ثابت و پهپادهای بال-چرخان. بارزترین نوع پهپادهای بال-ثابت، هوایپیماها هستند که نیروی بالابرندۀ در آن‌ها از افزایش فشار هوای زیر بال‌ها در اثر سرعت

2 Vertical Take Off and Landing (VTOL)

3 Stationary Flight

4 Multi-copters

5 Under-Actuated

1 Unmanned Aerial Vehicles (UAV)

\* نویسنده عهده‌دار مکاتبات: h.chehardoli@abru.ac.ir



حقوق مؤلفین به نویسنده‌گان و حقوق ناشر به انتشارات دانشگاه امیرکبیر داده شده است. این مقاله تحت لیسانس آفرینندگی مردمی (Creative Commons License) در دسترس شما قرار گرفته است. برای جزئیات این لیسانس، از آدرس <https://www.creativecommons.org/licenses/by-nc/4.0/legalcode> دیدن فرمائید.

کوادراتور استفاده شده است. در [۱۶] یک کنترلگر پس خور خروجی برای کنترل موقعیت و جهت کوادراتور پیشنهاد شده است که بر اساس شبکه عصبی آنلاین ضرایب کنترلگر شناسایی شده است. کوادراتور یک سیستم غیرخطی با نامعینی مدل، تحت اغتشاشات محیطی می‌باشد. بنابراین یک روش کنترل تطبیقی می‌تواند مقاوم بودن و ردیابی دقیق را تضمین نماید. یک روش تطبیقی بر اساس شبکه عصبی در [۱۷] پیشنهاد شده است. در [۱۸] یک کنترلگر گام به عقب فازی تطبیقی برای کوادراتور پیشنهاد شده است. کنترلگرهای فازی تناسی-انتگرالی-مشتقی بسیاری به منظور تطبیق بهره‌های کنترلگر طراحی شده اند [۱۹-۲۱]. در کنترلگرهای فازی طراحی شده ضرایب به صورت مستقل طراحی و تطبیق داده نشده‌اند. خروجی فازی یک ضریب تطبیقی می‌باشد که ضرایب کنترلگر به صورت تناسبی با ضریب متغیر تعیین می‌شوند.

بنابراین روش فازی تطبیقی می‌تواند نامعینی‌های مدل را با تنظیم پارامترهای کنترلگر جبران نماید. از این رو در پژوهش حاضر طراحی یک کنترلگر تناسی-انتگرالی-مشتقی فازی تطبیقی مد نظر قرار گرفته است تا ضمن حفظ سادگی ساختار کنترل کننده و محاسبات قانون کنترل، بتواند عملکرد مقاومت‌تری در برابر اغتشاش‌های خارجی و تغییر شرایط کاری داشته باشد. در کنترل کننده طراحی شده، قانون کنترل مشابه کنترل کننده تناسی-انتگرالی-مشتقی است با این تفاوت که بهره‌های کنترلی ثابت نیستند و به طور پیوسته و مستقل توسط سیستم فازی تنظیم می‌شوند. در کنترلگر فازی طراحی شده برخلاف کنترلگرهای فازی طراحی شده در تحقیقات گذشته در زمینه کنترل کوادراتور، ضرایب کنترلگر به صورت مستقل تطبیق داده شده‌اند. قانون تطبیق نیز بر مبنای شاخصه‌های عملکرد سیستم بازه‌های مجاز برای تنظیم بهره‌های کنترلی توسط سیستم فازی را تعیین می‌کند. به این ترتیب ضمن حفظ پایداری سیستم در شرایط کاری متفاوت، سیستم کنترل برای رسیدن به بهترین عملکرد از لحاظ مقاومت در برابر اغتشاش و ردیابی مسیر به طور پیوسته تلاش می‌کند. همچنین در طراحی کنترلگر یک جبران‌ساز به منظور تضعیف خطاهای تقریب کنترلگر فازی در نظر گرفته شده است. در ادامه، مقاله بدین شرح سازماندهی شده است: در بخش دوم دینامیک حرکت کوادراتور به صورت ریاضی مدل‌سازی شده است. در بخش سوم، طراحی کنترل کننده تناسی-انتگرالی-مشتقی فازی

و پیج<sup>۱</sup> است. به این ترتیب جابجایی در امتداد محورهای عرضی و طولی بدون چرخش حول محورهای رول و پیج ممکن نیست. یا به عبارت دیگر هرگونه انحراف زاویه‌ای حول محورهای رول یا پیج کوادراتور منجر به ایجاد حرکت انتقالی ناخواسته در صفحه افقی می‌شود که اصطلاحاً به آن رانش<sup>۲</sup> می‌گویند. در نتیجه اولین گام در تثبیت موقعیت، پایدارسازی زاویه‌ای کوادراتور است [۳].

توجه محققان حوزه دینامیک و کنترل به سیستم دینامیکی زیرتحریک کوادراتور از اوایل دهه نخستین قرن بیست و یکم میلادی آغاز شد. با استفاده از روش‌های خطی‌سازی و تخمین دینامیک کوادراتور با یک مدل خطی، انواع روش‌های کنترل خطی برای کوادراتور طراحی شد [۴-۷]. کوادراتور نیز مانند بیشتر سیستم‌های دینامیکی دارای نامعینی‌های ساختاری و غیرساختاری است که اغلب ثابت بوده یا با آهنگ کمی تغییر می‌کنند. علاوه بر این، سیستم دینامیکی کوادراتور همواره در معرض اغتشاش‌های خارجی متغیر ناشی از تغییر شرایط محیط کاری در کاربردهای مختلف شهری است. بنابراین نیاز است که سیستم کنترل کوادراتور نسبت به این نامعینی‌ها و اغتشاش‌ها مقاوم باشد تا بتواند ضمن حفظ پایداری سیستم عملکرد ردیابی مناسبی فراهم کند. در طول دهه‌های اول و دوم قرن بیست و یکم میلادی روش‌های کنترلی جدیدتر اعم از روش‌های کنترل مقاوم [۸]، کنترل تطبیقی [۹]، کنترل پسگام [۱۰]، کنترل مد لغزشی [۱۱] و روش‌های ترکیبی [۱۲-۱۴] برای پایدارسازی زاویه‌ای کوادراتور معرفی شده است. در اغلب پژوهش‌های انجام شده به دلیل پیچیدگی محاسبات قانون کنترل، پیاده‌سازی عملی کنترل کننده میسر نشده و کارآیی آن تصدیق نشده است. در واقع سهولت پیاده‌سازی کنترل کننده سنتی تناسی-انتگرالی-مشتقی باعث شده تا به طور گسترده در کوادراتورهای تجاری مورد استفاده قرار بگیرد. مهم‌ترین محدودیت کنترل کننده سنتی تناسی-انتگرالی-مشتقی بهره‌های ثابت کنترلی است که نمی‌تواند پایداری و مقاوم بودن سیستم دینامیکی کوادراتور را در شرایط کاری متفاوت و متغیر تأمین کند.

کنترلگرهای هوشمند بسیاری به منظور کنترل کوادراتور توسط محققین به کار گرفته شده است. در [۱۵] از روش بهینه‌سازی ازدحام ذرات برای تنظیم ضرایب تناسی-انتگرالی-مشتقی موقعیت

<sup>1</sup> Roll and Pitch rotations

<sup>2</sup> Drift

محاسبه می‌شوند [۲۲]:

$$T = b\omega^2, \quad Q = d\omega^2 \quad (1)$$

که در آن  $b$  ثابت تراست و  $d$  ثابت درگ و  $\omega$  سرعت دورانی موتور است. معادلات دینامیکی حرکت انتقالی کوادراتور در دستگاه اینرسی  $\{E\}$  در رابطه (۲) بیان شده است [۲۳] که در آن عبارت‌های  $S$ . و  $C$ . به ترتیب معرف  $(.)\cos$  و  $(.)\sin$  بوده و  $U_1$  نیروی تعیین‌یافته وارد به مرکز جرم کوادراتور در امتداد  $\hat{z}$  است که در واقع مجموع نیروهای تراست ایجاد شده است.

$$\begin{bmatrix} \ddot{X} \\ \ddot{Y} \\ \ddot{Z} \end{bmatrix} = \begin{bmatrix} (C_\phi S_\theta C_\psi + S_\phi S_\psi) U_1 \\ m \\ (C_\phi S_\theta S_\psi - S_\phi C_\psi) U_1 \\ m \\ (C_\phi C_\theta) U_1 \\ m \end{bmatrix} - g \quad (2)$$

که در آن  $U_1 = b(\omega_1^2 + \omega_2^2 + \omega_3^2 + \omega_4^2)$  پارامترهای  $m$  و  $g$  نیز به ترتیب معرف جرم کوادراتور و شتاب گرانش هستند. با توجه به اینکه در ساختار کوادراتور ملخ‌های جلو و عقب به صورت ساعتگرد و ملخ‌های راست و چپ به صورت پاد ساعتگرد می‌چرخند. این جهت چرخش در ملخ‌ها باعث می‌شود تا گشتاور ژیروسکوپی و گشتاور آیرودینامیکی اثر ناچیزی بر حرکت انتقالی کوادراتور داشته باشند. در نتیجه اغلب در محاسبه معادلات دینامیکی حرکت انتقالی کوادراتور از اثر آنها صرفنظر می‌شود [۲۴]. معادلات دینامیکی حرکت دورانی کوادراتور در دستگاه محلی  $\{B\}$  نیز در رابطه زیر بیان شده‌اند [۲۳]:

$$\begin{bmatrix} \ddot{\phi} \\ \ddot{\theta} \\ \ddot{\psi} \end{bmatrix} = \begin{bmatrix} \frac{U_2 - J_r \dot{\theta} \omega_r + (I_{yy} - I_{zz}) \dot{\psi} \dot{\theta}}{I_{xx}} \\ \frac{U_3 + J_r \dot{\phi} \omega_r + (I_{zz} - I_{xx}) \dot{\psi} \dot{\phi}}{I_{yy}} \\ \frac{U_4 + (I_{xx} - I_{yy}) \dot{\theta} \dot{\phi}}{I_{zz}} \end{bmatrix} \quad (3)$$

که در آن  $U_4 = d(\omega_1^2 - \omega_2^2 + \omega_3^2 - \omega_4^2)$ ,  $U_3 = Lb(\omega_3^2 - \omega_1^2)$ ,  $U_2 = Lb(\omega_4^2 - \omega_2^2)$  و  $\omega_r = -\omega_1 + \omega_2 - \omega_3 + \omega_4$ . شایان ذکر است،  $U_2$  گشتاور تعیین‌یافته وارد به مرکز جرم کوادراتور حول محور  $\hat{x}$  است که از اختلاف نیروی تراست تولید شده در موتورهای چپ و راست ایجاد می‌شود.  $U_3$  نیز گشتاور تعیین‌یافته وارد بر مرکز جرم کوادراتور حول محور  $\hat{y}$  است

تطبیقی تشریح شده است. در ادامه شبیه‌سازی عملکرد کنترل کننده طراحی شده و مقایسه آن با همتای سنتی خود در بخش چهارم آمده است. در بخش پنجم در یک آزمون تجربی به روش سخت‌افزار در حلقه عملکرد کنترل کننده طراحی شده در غلبه بر نامتوازنی وزنی صحنه‌سنجی شده است. جمع‌بندی و نتیجه گیری مقاله نیز در بخش ششم آمده است.

## ۲- مدل‌سازی دینامیکی کوادراتور

ساختار مکانیکی کوادراتور شامل یک بدنه به فرم ضربدری با چهار موتور ملخ‌دار در انتهای چهار بازوی بدنه است. تصویر شماتیک یک کوادراتور در شکل ۱ نشان داده شده است. در این مدل شماتیک ساختار فیزیکی کوادراتور قرینه و همگن فرض شده است به طوری که مرکز هندسی و مرکز جرم بر هم منطبق بوده و در محل تلاقی بازوها واقع شده‌اند. ۱-۲- دینامیک بدنه کوادراتور

برای تحلیل دینامیکی بدنه کوادراتور، یک دستگاه مختصات اینرسی  $\{E\}$  و یک دستگاه مختصات محلی  $\{B\}$  تعریف شده است. مبدأ دستگاه مختصات اینرسی در نقطه  $O = [0, 0, 0]^T$  واقع شده است و جهت‌گیری آن معرف امتداد سه بعد در فضا است. مبدأ دستگاه مختصات محلی  $\{B\}$  به مرکز جرم کوادراتور متصل است که موقعیت آن در دستگاه مختصات اینرسی  $\{E\}$  با بردار  $P = [X, Y, Z]^T$  تعیین می‌شود. جهت‌گیری دستگاه مختصات محلی  $\{B\}$  نسبت به دستگاه اینرسی  $\{E\}$  بر اساس بردار زوایای اویلر  $\Theta = [\phi, \theta, \psi]^T$  تعیین می‌شود. نیروی تراست ( $T$ ) و گشتاور آیرودینامیکی ( $Q$ ) ناشی از گردش ملخ براساس تئوری المان تیغه و تئوری تکانه مطابق رابطه زیر

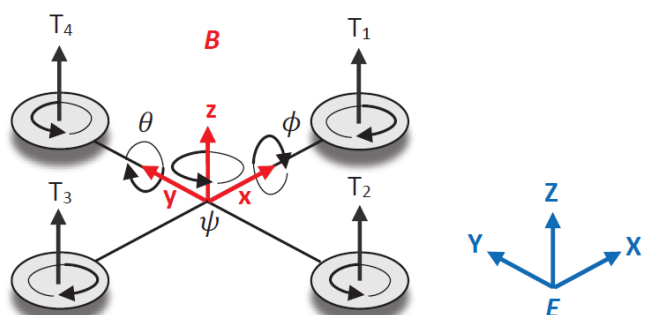


Fig. 1. A schematic view of a quadrotor

شکل ۱: نمای شماتیک کوادراتور

معادله دینامیکی رابطه (۴) از حالت کوپل خارج شده و به سه معادله دینامیکی مستقل تبدیل می‌شود.

$$U = -\frac{F}{G} + \tau \quad (5)$$

### ۳- طراحی کنترل کننده

با توجه به اینکه معادلات زاویه‌ای کوادراتور بعد از اعمال خطی‌سازی فیدبک به معادلات غیرکوپل تبدیل می‌شود، از یک ساختار کنترلگر فازی تطبیقی که برای یک سیستم یک ورودی-یک خروجی طراحی شده است، استفاده می‌شود. معادلات حاکم بر هر زاویه کوادراتور یک معادله مرتبه ۲ می‌باشد و این معادلات توسط خطی‌سازی فیدبک غیرکوپل شده‌اند از این‌رو به منظور جلوگیری از تکرار روابط برای سه زاویه کوادراتور، یک سیستم غیرخطی یک ورودی-یک خروجی از مرتبه ۲ کلی بصورت زیر در نظر گرفته شده است.

$$x^{(2)} = f(x, \dot{x}) + g(x, \dot{x})u + d, \quad y = x \quad (6)$$

که در آن  $x = [x, \dot{x}]^T \in R^2$  بردار حالت،  $u \in R$  ورودی کنترل،  $y \in R$  خروجی سیستم،  $d$  اغتشاش کران‌دار خارجی و  $f(x)$  و  $g(x)$  توابع غیرخطی کران‌دار هستند. با فرض اینکه تمام متغیرهای  $x$  قابل اندازه‌گیری هستند و سیستم (۶) کنترل پذیر است بردار خطی رديابی بصورت  $e = y - y_r = [e, \dot{e}]^T \in R^2$  تعریف  $e = y - y_r = [y_r, \dot{y}_r]^T$  و  $y_r = [y_r, \ddot{y}_r]^T$  شده است، که در آن  $y = [y_r, \dot{y}_r]^T$  و  $y_r = [y_r, \ddot{y}_r]^T$  می‌باشد که از (۶) داریم:

$$e^{(n)} + k^T e = g(x)(u - u^*) + d \quad (7)$$

که در آن

$$u^* = \frac{-1}{g(x)} (f(x) - y_r^{(n)} + k^T e) \quad (8)$$

و  $k = [k_1, k_2]^T$  به گونه‌ای انتخاب شده است که  $k^T e$  چندجمله‌ای هرویتز باشد. در این صورت دینامیک خطأ بصورت رابطه زیر بیان می‌شود.

واز اختلاف نیروی تراست ایجاد شده در موتورهای جلو و عقب ناشی می‌شود.  $U_4$  نیز گشتاور تعیین‌یافته وارد به مرکز جرم کوادراتور حول محور  $\hat{z}$  است که از جمع جبری گشتاورهای دینامیکی بدست می‌آید.  $\omega$  نیز جمع جبری سرعت دورانی چهار موتور است. پارامتر  $J_r$  ممان اینرسی روتور و پارامترهای  $I_{yy}, I_{xx}$  و  $I_{zz}$  عناصر قطر اصلی ماتریس اینرسی بدن کوادراتور هستند. پارامتر  $L$  نیز طول بازوهای ضربدری بدن کوادراتور است.

همانطور که معادلات دینامیکی در رابطه (۲) و (۳) نشان می‌دهند، کوادراتور یک سیستم چند ورودی-چند خروجی با شش درجه آزادی و چهار ورودی کنترلی یک نیرو ( $U_1$ ) و سه گشتاور ( $U_2, U_3, U_4$ ) در مختصات تعیین‌یافته است. در نتیجه کوادراتور یک سیستم زیرتحریک است و تنها می‌تواند مسیر مطلوب در چهار درجه آزادی را به صورت مستقل دنبال کند.

با توجه به این که پژوهش حاضر بر روی پایدارسازی زاویه‌ای کوادراتور متمرکز است صرفا دینامیک مانورهای چرخشی کوادراتور مد نظر قرار می‌گیرد. در نتیجه سیستم دینامیکی حرکت چرخشی کوادراتور مطابق رابطه (۳) بصورت یک سیستم دینامیکی سه ورودی-سه خروجی بیان می‌شود که در آن گشتاورهای محركه ( $U_2, U_3, U_4$ ) ورودی‌های کنترلی و زاویه‌های اویلر ( $\psi, \theta, \phi$ ) خروجی‌های سیستم هستند. با در نظر گرفتن اغتشاشات وارد بر سیستم معادله (۳) را می‌توان بصورت زیر بازنویسی کرد.

$$\begin{bmatrix} \ddot{\phi} \\ \ddot{\theta} \\ \ddot{\psi} \end{bmatrix} = \begin{bmatrix} \frac{-J_r \dot{\theta} \omega_r + (I_{yy} - I_{zz}) \dot{\psi} \dot{\theta}}{I_{xx}} \\ \frac{J_r \dot{\phi} \omega_r + (I_{zz} - I_{xx}) \dot{\psi} \dot{\phi}}{I_{yy}} \\ \frac{(I_{xx} - I_{yy}) \dot{\theta} \dot{\phi}}{I_{zz}} \end{bmatrix} \quad (4)$$

$$+ \begin{bmatrix} \frac{1}{I_{xx}} & 0 & 0 \\ 0 & \frac{1}{I_{yy}} & 0 \\ 0 & 0 & \frac{1}{I_{zz}} \end{bmatrix} \begin{bmatrix} U_2 \\ U_3 \\ U_4 \end{bmatrix} + \begin{bmatrix} d_\phi \\ d_\theta \\ d_\psi \end{bmatrix} = \mathbf{F} + \mathbf{GU} + \mathbf{D}$$

که  $d_\phi, d_\theta, d_\psi$  اغتشاشات وارد بر سیستم می‌باشند. در ادامه با استفاده از رابطه خطی‌سازی فیدبک معرفی شده در رابطه (۵)،

ماتریسی زیر بیان کرد:

$$\dot{\mathbf{e}} = A \mathbf{e} + B \left[ g(x)(u - u^*) + d \right] \quad (9)$$

که

$$\tau_{PID}(\xi | \theta) = \dot{\mathbf{e}}^T \hat{\mathbf{I}}(\mathbf{e}) \quad (15)$$

$\hat{\mathbf{I}}(\mathbf{e}) = [e_1, e_2, e_3]^T = [e, e_I, e_D]^T$ ,  $\dot{\mathbf{e}} = [K_P, K_I, K_D]$  که در آن تمام بردارهای بهره  $\dot{\mathbf{e}}$  با استفاده از یک سیستم فازی تاکاگی-سوگنو از مرتبه صفر<sup>۱</sup> تخمین زده می‌شود [۲۵].  
ورودی‌های سیستم فازی  $\int e(t)dt$ ,  $e(t)$  و  $\dot{e}(t)$  می‌باشند و خروجی آن بردار بهره  $\dot{\mathbf{e}}$  است. تعداد  $m_i$  مجموعه فازی ( $j = 1, \dots, m_i$ )  
آن بردار بهره  $\dot{\mathbf{e}}$  است. برای هر ورودی ( $i = 1, 2, 3$ )  $e_i$  تعریف شده است. مجموعه قوانین  
فازی بر اساس دستورات اما-اگر بصورت زیر تعریف شده است.

$$R_k : \text{if } e_1 \text{ is } G_k^1 \text{ and } e_2 \text{ is } G_k^2 \text{ and } e_3 \text{ is } G_k^3 \\ \text{then } K_P \text{ is } c_{Pk} \text{ and } K_I \text{ is } c_{Ik} \text{ and } K_D \text{ is } c_{Dk} \quad (16)$$

که در آن  $G_k^i \in \{F_1^i, \dots, F_{M_i}^i\}$  ( $k = 1, \dots, N$ ) و  $N$  تعداد قوانین،  
 $c_{Dk}, c_{Ik}, c_{Pk}$  خروجی مربوط به  $k$  امین قانون است. در اینصورت ضرایب کنترل کننده به صورت زیر محاسبه می‌شوند.

$$K_P = \frac{\sum_{k=1}^N \mu_k c_{Pk}}{\sum_{k=1}^N \mu_k}, \\ K_I = \frac{\sum_{k=1}^N \mu_k c_{Ik}}{\sum_{k=1}^N \mu_k}, \\ K_D = \frac{\sum_{k=1}^N \mu_k c_{Dk}}{\sum_{k=1}^N \mu_k} \quad (17)$$

و  $\mu_k = \prod_{i=1}^3 \mu_{G_k^i}(e_i)$ ,  $\mu_{G_k^i} \in \{\mu_{F_1^i}, \dots, \mu_{F_{M_i}^i}\}$  که در آن  $\mu_{F_j^i}$  تابع عضویت مجموعه فازی  $F_j^i$  است. بردارهای  $c_D = [c_{D1}, \dots, c_{DN}]^T$ ,  $c_I = [c_{I1}, \dots, c_{IN}]^T$ ,  $c_P = [c_{P1}, \dots, c_{PN}]^T$  بردار پارامترهای قابل تنظیم هستند. در این صورت بهره‌های کنترل کننده از رابطه زیر بدست می‌آیند.

$$K_P = \hat{\mathbf{I}} c_P, K_I = \hat{\mathbf{I}} c_I, K_D = \hat{\mathbf{I}} c_D, \dot{\mathbf{e}} = \hat{\mathbf{I}} \mathbf{c} \quad (18)$$

و  $\hat{\mathbf{I}} = \text{diag}\{D, D, D\}$ ,  $\mathbf{c} = [c_P, c_I, c_D]^T$  که در آن  $D = [d_1, \dots, d_N]$  بردار توابع پایه شعاعی<sup>۲</sup> است که در آن درایه  $d_k$

$$A = \begin{bmatrix} 0 & 1 \\ -k_1 & -k_2 \end{bmatrix}, B = \begin{bmatrix} 0 \\ 1 \end{bmatrix} \quad (10)$$

واضح است در صورتی که توابع  $f(x)$  و  $g(x)$  توابع معلوم و سیستم بدون اغتشاش در نظر گرفته شود و  $u = u^*$  سیستم پایدار مجانبی خواهد بود. در صورتی که در بسیاری از مواقع این توابع نامعلوم و سیستم تحت اغتشاشات قرار دارد.

قابل توجه می‌باشد که برای معادلات در این بخش به طراحی یک کنترل کننده فازی تطبیقی تناسبی-انتگرالی-مشتقی پرداخته شده است. در کنترل کننده پیشنهادی، قانون کنترل مشابه کنترل کننده سنتی تناسبی-انتگرالی-مشتقی است با این تفاوت که بهره‌های کنترلی ثابت نیستند و به طور پیوسته توسط سیستم فازی تطبیقی تنظیم می‌شوند. ساختار کنترل کننده پیشنهادی به صورت رابطه (11) می‌باشد.

$$\tau = \tau_{PID} + \nu \quad (11)$$

که در آن  $\tau_{PID}$  عبارت است از:

$$\tau_{PID} = K_P e(t) + K_I \int e(t) dt + K_D \dot{e}(t) \quad (12)$$

که در آن  $K_D$  و  $K_I, K_P$  بهره‌های بخش‌های تناسبی، انتگرال گیر و مشتق گیر هستند. عبارت  $\nu$  در رابطه (11) جبران‌سازی از نوع  $H_\infty$  است که با رابطه (13) تعریف می‌شود و در آن  $\lambda$  مقدار ثابت مثبت و  $P$  یک ماتریس مثبت معین بدست آمده از معادله شبه ریکاتی رابطه (14) است.

$$\nu = -\frac{1}{\lambda} B^T P \mathbf{e} \quad (13)$$

$$A^T P + PA + Q - \frac{2}{\lambda} PBB^T P \\ + \frac{1}{\rho^2} PBB^T P = 0, \quad 2\rho^2 \geq \lambda \quad (14)$$

با توجه به رابطه (12)، تلاش کنترلی  $\tau$  را می‌توان به فرم

۱ Zero-order Takagi-Sugeno

۲ Radial Basis Functions

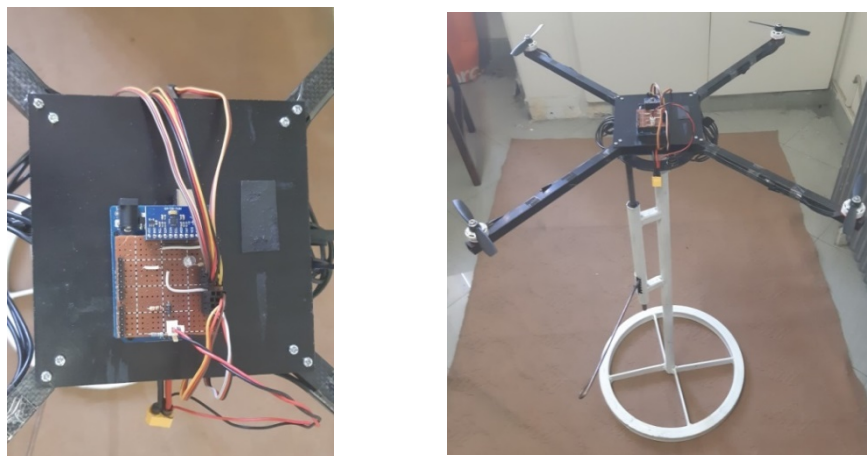


Fig. 2. The experimental setup used for stabilization tests

شکل ۲: استند آزمایشگاهی ساخته شده برای آزمون پایدارسازی زاویه‌ای کوادرورتور

به ازای تمامی  $t \geq t_0$ ، عبارت‌های  $e(t)$  و  $c(t)$  کران‌دار نهایی یکنواخت<sup>۱</sup> خواهند بود.

#### ۴- ارزیابی عملکرد کنترل کننده

در این بخش عملکرد کنترل کننده طراحی شده در دو آزمون ارزیابی شده است. در آزمون اول عملکرد کنترل کننده در پایدارسازی زاویه‌ای کوادرورتور و ردیابی توابع پالس در مانورهای رول و پیچ بررسی شده است به طوری که نتایج شبیه‌سازی کنترل کننده طراحی شده و کنترل کننده سنتی تناسبی-انتگرالی-مشتقی با نتیجه پیاده‌سازی عملی کنترل کننده طراحی شده مقایسه شده است. در آزمون دوم توانایی کنترل کننده در دفع اغتشاش‌های ناشی از نامتوازنی وزنی بررسی شده است که مشابه با آزمون اول، نتایج شبیه‌سازی کنترل کننده‌ها با نتیجه پیاده‌سازی عملی کنترل کننده مقایسه شده است. پیاده‌سازی عملی کنترل کننده به صورت سخت‌افزار در حلقه بر

روی یک استند آزمایشگاهی سه درجه آزادی انجام شده است. پارامترهای ثابت در نظر گرفته شده برای کنترل کننده فازی تطبیقی تناسبی-انتگرالی-مشتقی عبارتند از:

$$\begin{aligned} k_{1\varphi} &= 15, k_{2\varphi} = 20, \quad k_{1\theta} = 130, k_{2\theta} = 5, \\ k_{1\psi} &= 15, k_{2\psi} = 20, \rho = 0.1, \lambda_\varphi = 0.1, \\ \lambda_\theta &= 0.02, \lambda_\psi = 0.04, \gamma_\varphi = 1, \gamma_\theta = 100, \gamma_\psi = 30 \end{aligned}$$

جدول ۱: بهره‌های کنترل کننده‌ها

Table 1. Controller gains

کنترل کننده PID			درجه آزادی
$K_p$	$K_i$	$K_d$	
۱۰۰	۱۰	۵۰	$\phi$
۱۰۰	۱۰	۵۰	$\theta$
۱۰۰	۵	۵۰	$\psi$

بصورت  $d_k = \frac{\mu_k}{\sum_{k=1}^N \mu_k}$  تعریف می‌شود [۲۵]. بنابراین تلاش کنترلی  $\tau_{PID}$  را می‌توان به شکل زیر بیان کرد.

$$\tau_{PID}(\dot{\theta}) = \hat{\mathbf{i}}^T \hat{\mathbf{I}} \mathbf{c} \quad (19)$$

تلاش کنترلی  $\tau_{PID}$  می‌تواند تخمینی از کنترل مطلوب ( $u^*$ ) تولید کند. بنابراین، یک بردار بهره  $\hat{\mathbf{e}}^*$  وجود دارد بطوری که بتواند تخمینی با کران خطای مطلوب تولید کند. در سیستم دینامیکی معروفی شده با قانون کنترل مشخص شده در رابطه (۱۱) و جبران ساز ردیابی معرفی شده در رابطه (۱۳) با بکارگیری قانون تطبیق زیر

$$\dot{c} = -\gamma (\hat{\mathbf{i}}^T \hat{\mathbf{I}})^T B^T P e \quad (20)$$

این استند سه درجه آزادی در محورهای رول و پیچ  $\pm 35$  درجه و در محور یاو  $360$  درجه قابلیت حرکت دارد. علاوه بر این یک مکانیزم مهار و آزادسازی نیز برای این سیستم در نظر گرفته شده تا بتوان در مرحله کالیبراسیون سنسور ژیروسکوپ را در حالت متعادل نگهداشت و پس از آن مکانیزم را رها کرد. در آزمون تجربی کنترل کننده به روش سختافزار در حلقه پیاده‌سازی می‌شود که در آن فیدبک‌های زاویه دریافت شده از سنسور ژیروسکوپ MPU6050 از طریق برد واسطه آردوینو UNO دریافت شده و به نرمافزار متلب در لپتاپ

و ماتریس  $P$  از حل معادله شبیه ریکاتی (۱۴) برابر است با:

$$P_\varphi = P_\psi = \begin{bmatrix} 2.15 & 0.05 \\ 0.05 & 0.07 \end{bmatrix},$$

$$P_\theta = \begin{bmatrix} 26.046 & 0.2 \\ 0.2 & 0.009 \end{bmatrix}$$

همچنین ضرایب کنترلر سنتی در جدول ۱ آورده شده است. تصویر استند آزمایشگاهی ساخته شده برای انجام آزمایش‌های عملی پایدارسازی زاویه‌ای کوادرورتور در شکل ۲ نشان داده شده است.

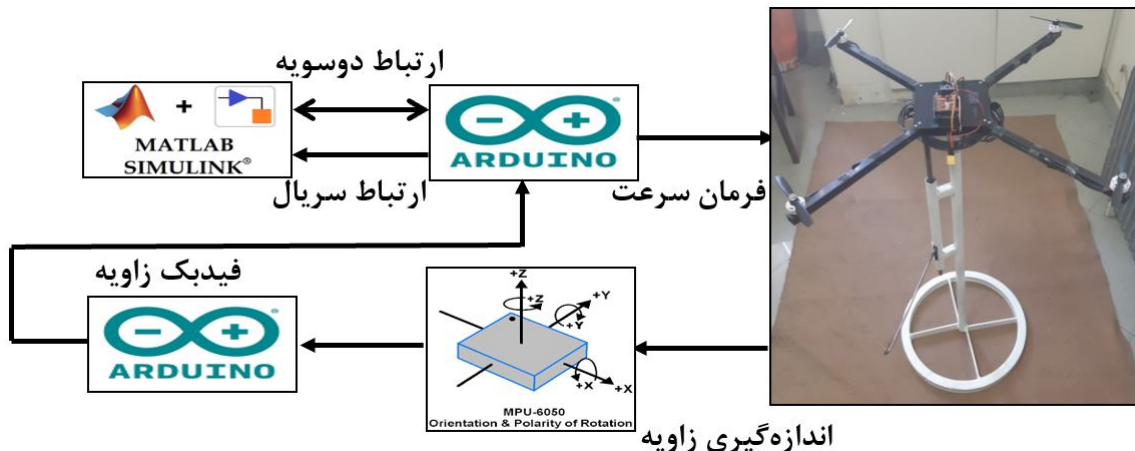


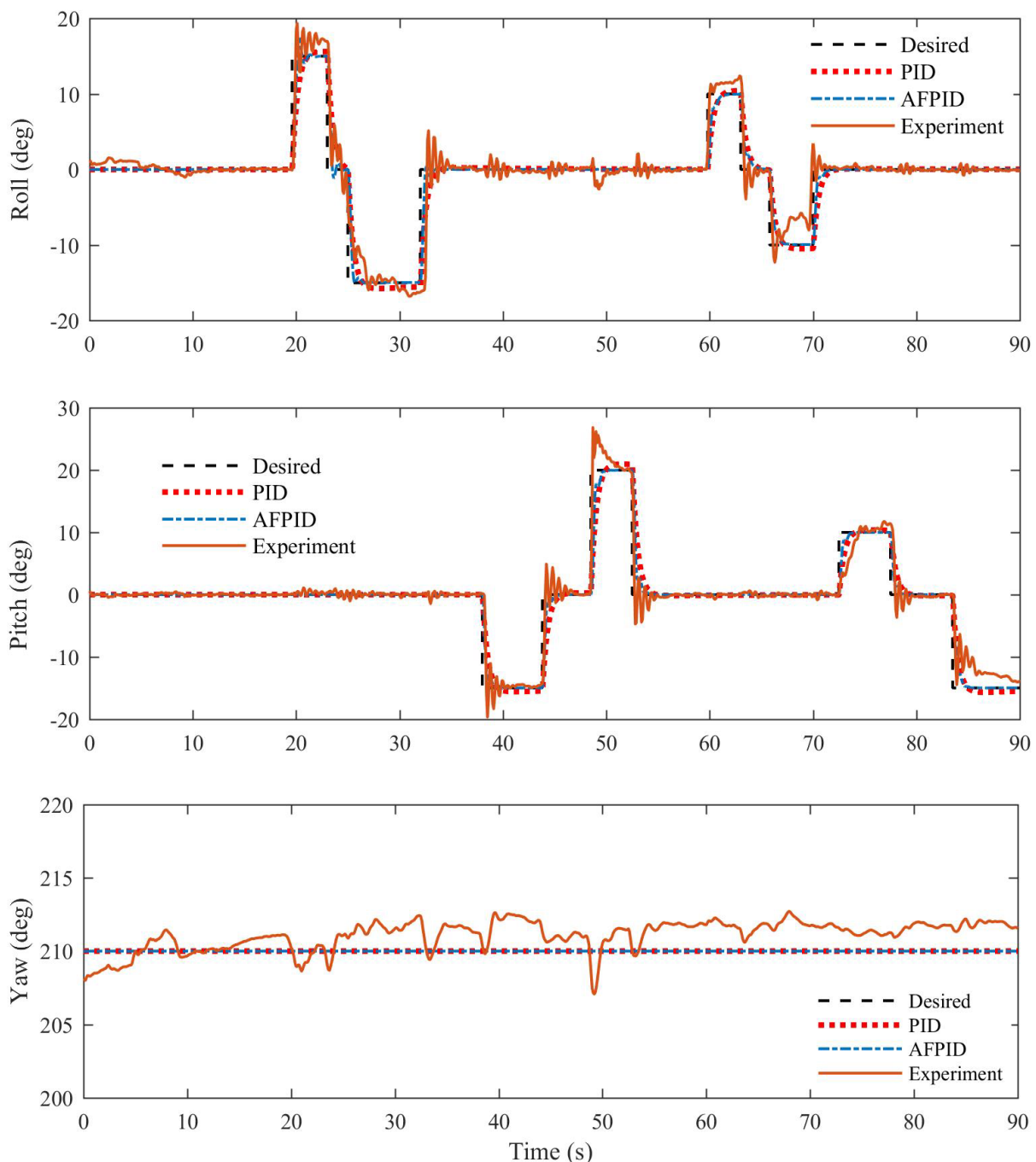
Fig. 3. The hardware in the loop diagram

شکل ۳: دیاگرام سخت افزار در حلقه

جدول ۲: مقادیر مفروض پارامترهای مدل دینامیکی کوادرورتور

Table 2. Assumed values of quadrotor dynamical model

واحد	مقدار	نام	نماد
$\text{kgm}^2$	.۰۰۷	ممان اینرسی کوادرورتور حول محور $\hat{x}$	$I_{xx}$
$\text{kgm}^2$	.۰۰۷	ممان اینرسی کوادرورتور حول محور $\hat{y}$	$I_{yy}$
$\text{kgm}^2$	.۰۱۲	ممان اینرسی کوادرورتور حول محور $\hat{z}$	$I_{zz}$
m	.۱۷	طول بازوی کوادرورتور	L
kg	.۶۸	جرم کوادرورتور	m
$\text{m/s}^2$	۹/۸۱	شتاب گرانش	g
$\text{Ns}^2$	۴/۱۳e-۵	ثابت تراست	b
$\text{Nms}^2$	۸/۵e-۷	ثابت درگ	d
$\text{kgm}^2$	۶/۵e-۵	ممان اینرسی روتور	J <sub>r</sub>
Nm/A	.۰۲۵	ثابت گشتاوتر موتور	K <sub>tm</sub>
Vs/rad	.۰۲۵	ثابت الکتریکی موتور	K <sub>em</sub>
$\Omega$	.۱	مقاومت سیم پیچ موتور	R <sub>m</sub>
-	۱	ضریب بازدهی موتور	$\eta$

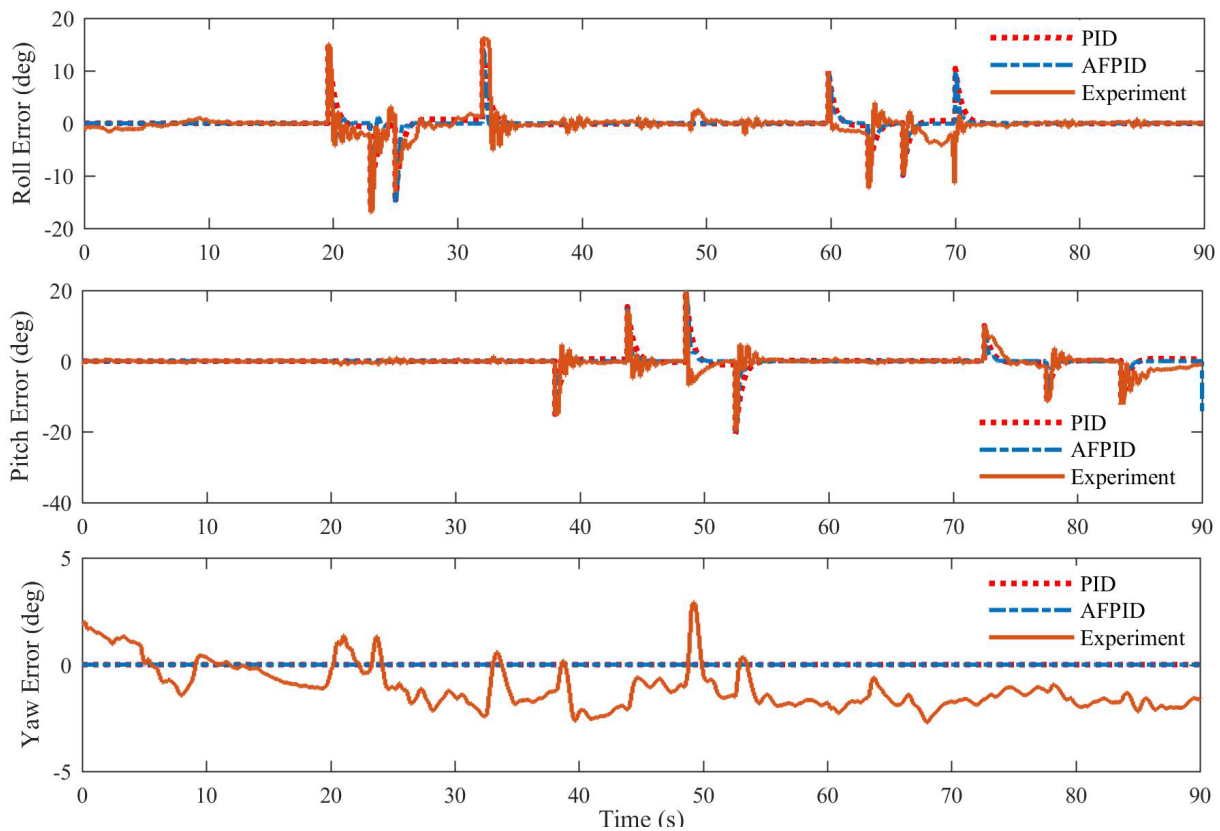


**Fig. 4. Stabilization and tracking performance of roll and pitch angles**

شکل ۴: نتایج آزمون پایدارسازی و ردیابی توابع پالس در مانورهای رول و پیچ کوادروتور

ارتباط اطلاعات در سخت افزار در حلقه بصورت دیاگرام در شکل ۳ نمایش داده شده است. مقادیر مفروض پارامترهای مدل دینامیکی کوادروتور در شبیه‌سازی‌ها در جدول ۲ گزارش شده است. نتایج آزمون پایدارسازی و ردیابی توابع پالس در مانورهای رول و پیچ کوادروتور در شکل ۴ نشان داده شده است. همچنین خطای حاصل از ردیابی در شکل ۵ نشان داده شده است. شایان ذکر است

منتقل می‌شود که در آنجا بر اساس قانون کنترل دستورات حرکتی محاسبه شده و از طریق برد واسطه آردینو به موتورهای براشلس EMAX ۲۳۰۶ اعمال می‌شود. قابل ذکر می‌باشد که ملخ‌های ۵ اینچی برای موتورها استفاده شده است. در این پیاده‌سازی ارتباط سریال با نرخ ۱۱۵۲۰۰ بیت بر ثانیه و حلقه کنترلی با فرکانس ۵۰ هرتز اجرا شده است.



**Fig. 5. Stabilization and tracking errors of roll and pitch angles**

شکل ۵: خطای آزمون پایدارسازی و ریدیابی توابع پالس در مانورهای رول و پیچ کوادراتور

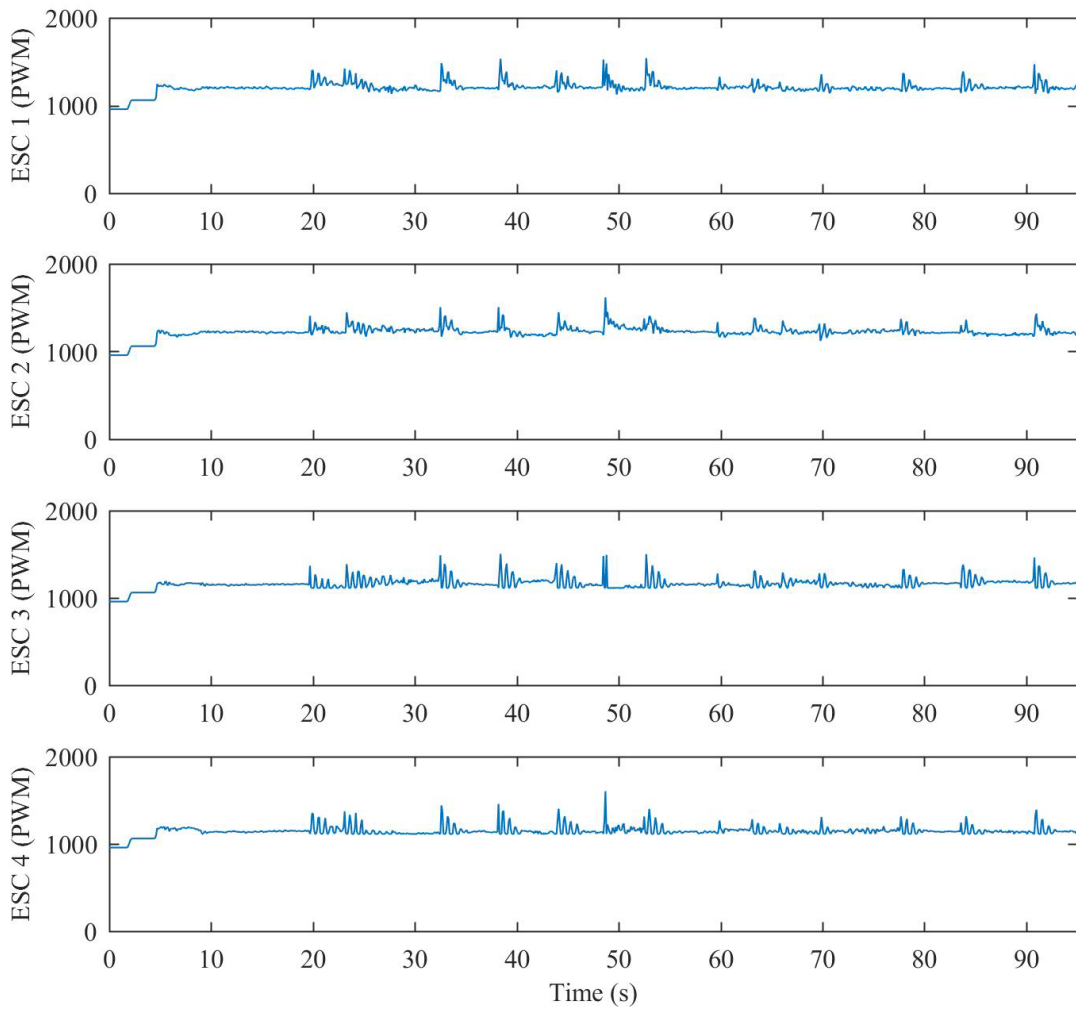
**جدول ۳: مقایسه عملکرد کنترل کننده‌ها بر اساس شاخص‌های مبتنی بر خطای ریدیابی**

**Table 3. Performance comparison of controllers according to tracking error metrics**

آزمایش عملی کنترل کننده PID		PID شبیه‌سازی کنترل کننده		شبیه‌سازی کنترل کننده PID فازی تطبیقی		درجه آزادی
MAE	IAE	MAE	IAE	MAE	IAE	
.۰۹۶۷	۱/۶۶۲۲	.۲۷۱۸	.۹۹۶۹	.۲۶۲۹	.۶۳۵۹	$\phi$
.۳۴۷۵	۱/۶۷۴۰	.۳۶۴۹	۱/۰۵۴۹	.۳۴۹۱	.۷۵۲۴	$\theta$
.۰۵۱۱	۲/۲۰۴۴	.	.	.	.	$\psi$

که با استفاده از سیستم فازی تطبیقی معرفی شده و تغییر پیوسته ضرایب در محدوده‌ای نزدیک به بهره‌های ثابت تنظیم شده می‌توان عملکرد کنترل کننده تناسبی-انتگرالی-مشتقی را بهبود بخشید. همچنین عملکرد کنترل کننده طراحی شده در پیاده‌سازی عملی مشابه با شبیه‌سازی بوده و با دقت قابل قبولی توانسته توابع پالس را در مانورهای رول و پیچ کوادراتور دنبال کند. علی‌رغم اینکه برد واسطه بر روی فوم لرزش گیر نصب شده، ارتعاشات مکانیکی محسوسی به سنسور ژیروسکوپ وارد شده است که در واقع دلیل نوسان‌های

که در این آزمون زاویه جهت‌گیری یا کوادراتور صرفا در موقعیت خود ثبت می‌شود. همچنین دستورات کنترلی که در پیاده‌سازی عملی کنترل کننده طراحی شده برای تنظیم سرعت موتورها صادر شده در شکل ۶ نمایش داده شده است. نتایج بدست آمده بیانگر این است که کنترل کننده تناسبی-انتگرالی-مشتقی فازی تطبیقی طراحی شده نسبت به همتای سنتی خود عملکرد بهتری داشته است. در واقع عملکرد کنترل کننده طراحی شده سریع‌تر بوده و دقیق‌تری داشته است. بنابراین می‌توان نتیجه‌گیری کرد



**Fig. 6. The control commands generated for speed control of motors in test 1**

شکل ۶: دستورات کنترلی صادر شده برای تنظیم سرعت موتورها در پیاده‌سازی عملی آزمون اول

کیفیت ردیابی مسیر توسط کنترل‌کننده‌ها براساس دو شاخص بیشترین قدرمطلق خطا و انتگرال قدرمطلق خطا در جدول ۳ گزارش شده است. در آزمون دوم، توانایی کنترل‌کننده در دفع اغتشاش ناشی از نامتوازنی وزنی بررسی شده است. شرح این آزمون بدین صورت است که پس از فعال‌سازی و پایدارسازی زاویه‌ای سیستم در جهت‌گیری مبدأ، یک وزنه  $200\text{ g}$  را به انتهای بازوی عقب سمت راست متصل می‌شود پس از آن سیستم کنترلی باید کوادروتور را در جهت‌گیری مبدأ پایدار کند. در ادامه پس از پایدارسازی در حضور نامتوازنی وزنی، مجددا وزنه از روی بازوی کوادروتور برداشته می‌شود و مجددا سیستم کنترل باید پایداری زاویه‌ای را تأمین کند. در شبیه‌سازی آزمون دوم، اضافه و کم شدن وزنه به صورت یک گشتاور اغشتاشی با تابع پالس

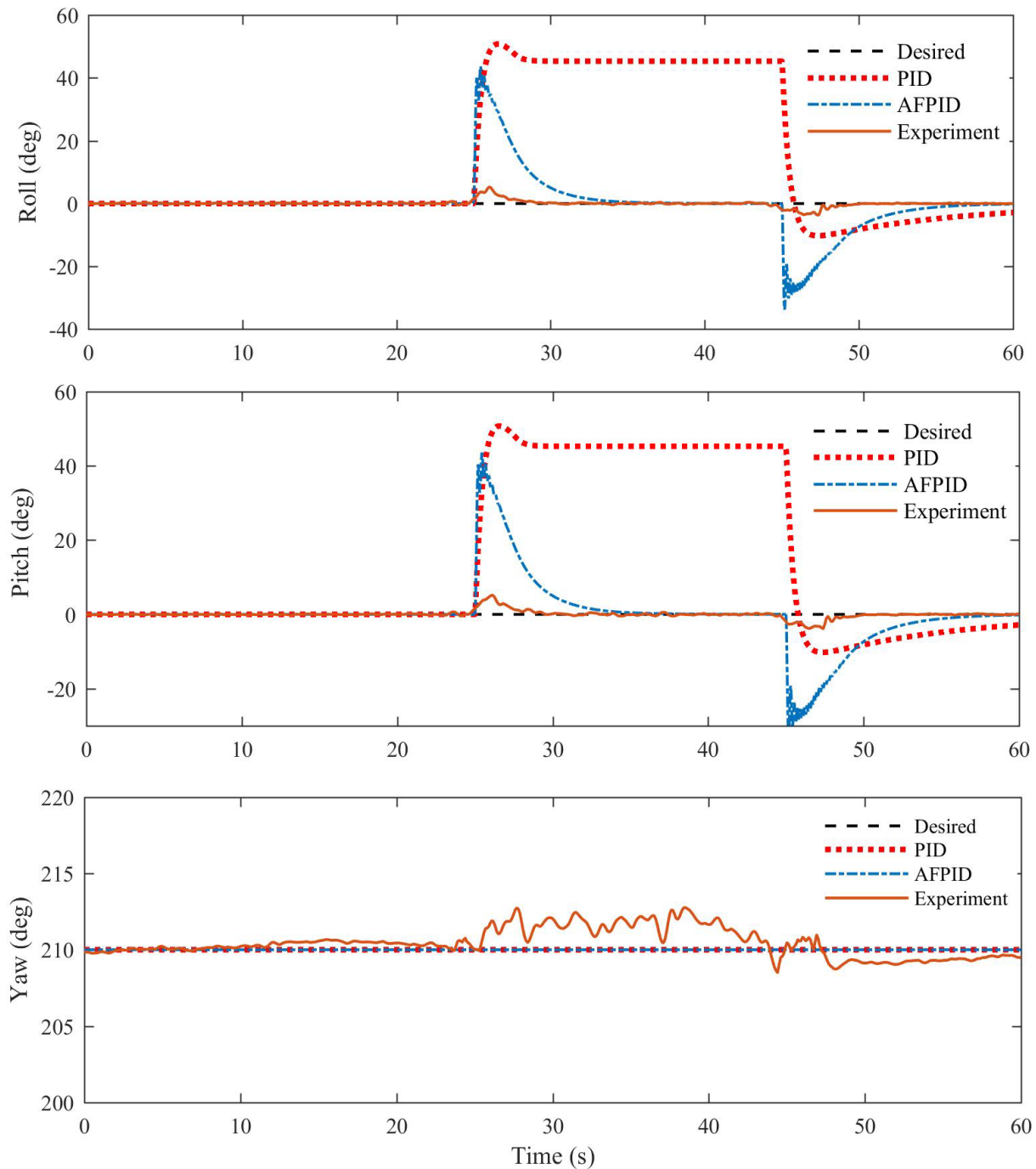
موجود در پاسخ پیاده‌سازی عملی کنترل‌کننده است. همچنین برای ارزیابی و مقایسه دقیق‌تر عملکرد ردیابی کنترل‌کننده‌ها دو شاخص بیشترین قدرمطلق خطا<sup>۱</sup> و انتگرال قدرمطلق خطا<sup>۲</sup> مطابق روابط (۲۱) و (۲۲) درنظر گرفته شده است. بیشترین قدرمطلق خطا شاخصی است که بیشترین میزان انحراف از مسیر مطلوب حرکت را در لحظه‌ای خاص نشان می‌دهد. حال آنکه شاخص انتگرال قدر مطلق خطا، کیفیت ردیابی را در تمام طول مسیر حرکت منعکس می‌کند.

$$MAE(e) = \max(|e|) \quad (21)$$

$$IAE(e) = \int_0^t |e| dt \quad (22)$$

۱ Maximum Absolute Error (MAE)

۲ Integral of Absolute Error (IAE)

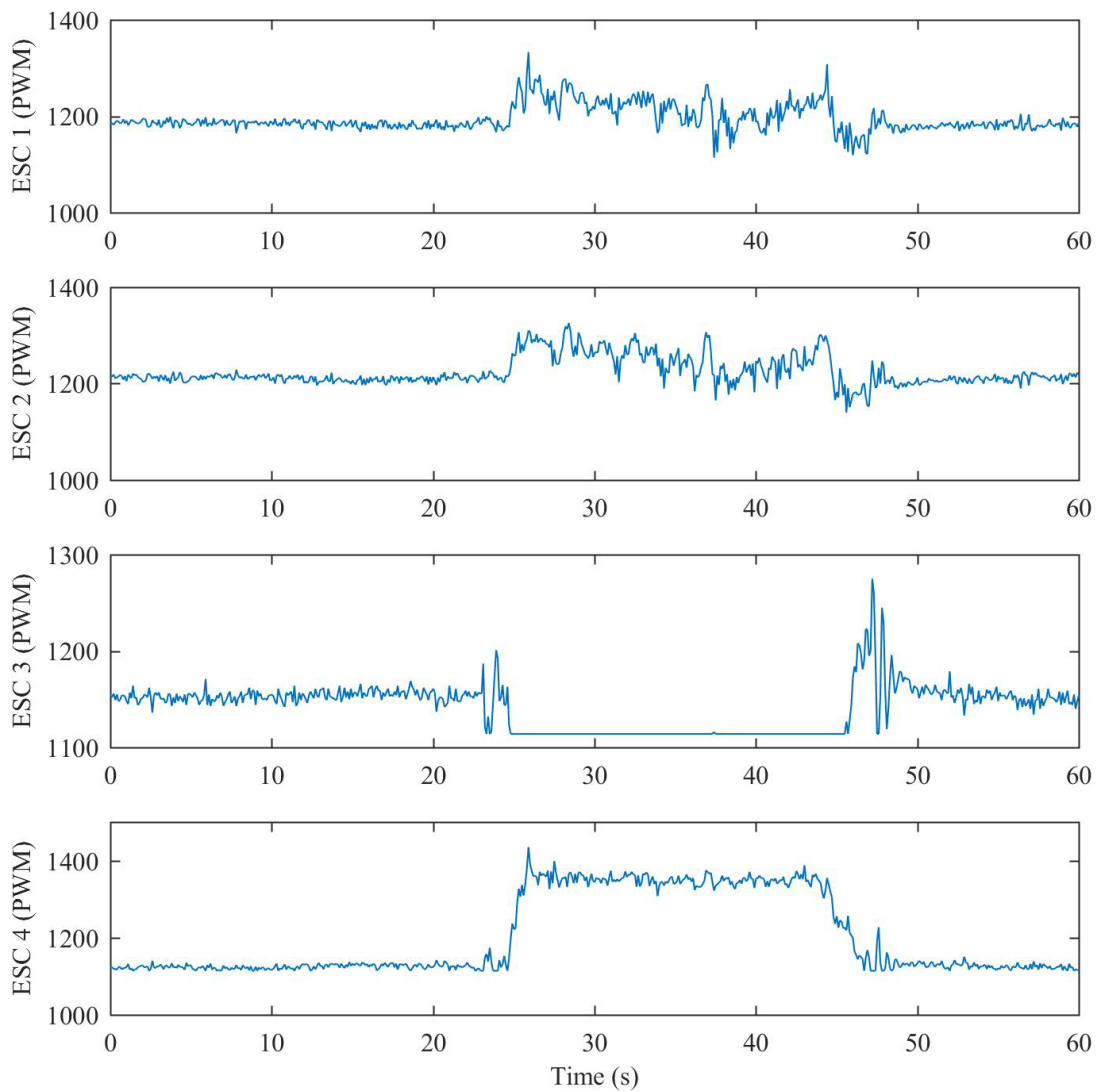


**Fig. 7. The results of disturbance rejection test**

شکل ۷: نتایج آزمون دفع اغتشاش کوادراتور

کنترل کننده طراحی شده را در دفع اغتشاش ناشی از نامتوازنی وزنی و پایدارسازی کوادراتور نشان می‌دهد. با توجه به نتایج بدست آمده مشخص می‌شود که تنظیم پیوسته ضرایب کنترل کننده با استفاده از روش فازی تطبیقی مقاومت کنترل کننده در برابر اغتشاش را به طور چشمگیری بهبود بخشدیده و پایدارسازی زاویه‌ای کوادراتور را بهتر

به سیستم اعمال شده است. شکل ۷ مانورهای رول، پیچ و یاو کوادراتور را در آزمون دفع اغتشاش ناشی از نامتوازنی وزنی نشان می‌دهد. شکل ۸ نیز دستورات کنترلی تولید شده برای تنظیم سرعت موتورها را پیاده‌سازی عملی کنترل کننده نشان می‌دهد. نتایج بدست آمده به روشنی توانایی



**Fig. 8. The control commands generated for speed control of motors in test 2**

شکل ۸: دستورات کنترلی صادر شده برای تنظیم سرعت موتورها در پیاده‌سازی عملی آزمون دوم

فازی تطبیقی هم در شبیه‌سازی و هم در پیاده‌سازی عملی به خوبی توانسته توابع پالس را در مانورهای دورانی رول و پیچ ردیابی کرده و زاویه جهت‌گیری یا را حفظ نماید. همچنین نتایج شبیه‌سازی و پیاده‌سازی عملی توانایی کنترل کننده طراحی شده را در دفع اغتشاش ناشی از نامتوازنی وزنی و پایدارسازی زاویه‌ای کوادراتور را نشان داد. کنترل کننده تناسبی-انتگرالی-مشتقی فازی تطبیقی در مقایسه با همتای سنتی خود سریع‌تر و مقاوم‌تر بوده است. در کنترل کننده سنتی تناسبی-انتگرالی-مشتقی که بهره‌ها ثابت هستند، برای رسیدن به پاسخی سریع و در عین حال مقاوم باید در تنظیم بهره‌ها مصالحه کرد. بنابراین نمی‌توان پاسخی کاملاً سریع و

تامین می‌کند.

#### ۵- نتیجه‌گیری

در این پژوهش با هدف بهبود عملکرد ردیابی و مقاومت کنترل کننده تناسبی-انتگرالی-مشتقی یک روش فازی تطبیقی برای تنظیم ضرایب معرفی گردید. روش پیشنهادی برای پایدارسازی دینامیک حرکت دورانی کوادراتور به کار گرفته شد. عملکرد کنترل کننده طراحی شده در آزمون‌های ردیابی توابع پالس و دفع اغتشاش ناشی از نامتوازنی وزنی مورد ارزیابی قرار گرفت. نتایج بدست آمده نشان داد که کنترل کننده تناسبی-انتگرالی-مشتقی

control of a quadrotor UAV by using backstepping approach, Mathematical Problems in Engineering, 34(6) (2014) 145-153.

[11] H. Bouadi, S.S. Cunha, A. Drouin, F. Mora-Camino, Adaptive sliding mode control for quadrotor attitude stabilization and altitude tracking, in: 2011 IEEE 12th International Symposium on Computational Intelligence and Informatics (CINTI), IEEE, 2011, pp. 449-455.

[12] Y. Yang, Y. Yan, Attitude regulation for unmanned quadrotors using adaptive fuzzy gain-scheduling sliding mode control, Aerospace Science and Technology, 54 (2016) 208-217.

[13] F. Parivash, Trajectory Tracking Control of Quadrotor using Fractional-Order Fuzzy PID Controller in the Presence of Wind Disturbance, Modares Mechanical Engineering, 18(8) (2018) 45-54.

[14] F. Chen, R. Jiang, K. Zhang, B. Jiang, G. Tao, Robust backstepping sliding-mode control and observer-based fault estimation for a quadrotor UAV, IEEE Transactions on Industrial Electronics, 63(8) (2016) 5044-5056.

[15] Y.Y. Nazaruddin, A.D. Andolini, B. Anditio, PSO based PID controller for quadrotor with virtual sensor, IFAC-PapersOnLine, 51(4) (2018) 358-363.

[16] T. Dierks, S. Jagannathan, Output feedback control of a quadrotor UAV using neural networks, IEEE transactions on neural networks, 21(1) (2009) 50-66.

[17] B. Xu, Composite learning finite-time control with application to quadrotors, IEEE Transactions on systems, man, and cybernetics: systems, 48(10) (2017) 1806-1815.

[18] F. Yacef, O. Bouhali, M. Hamerlain, N. Rizoug, Observer-based adaptive fuzzy backstepping tracking control of quadrotor unmanned aerial vehicle powered by Li-ion battery, Journal of Intelligent & Robotic Systems, 84(1) (2016) 179-197.

[19] A. Sarabakha, C. Fu, E. Kayacan, T. Kumbasar, Type-2 fuzzy logic controllers made even simpler: From design to deployment for UAVs, IEEE Transactions on Industrial Electronics, 65(6) (2017) 5069-5077.

[20] M. Rabah, A. Rohan, Y.-J. Han, S.-H. Kim, Design of fuzzy-PID controller for quadcopter trajectory-tracking,

در عین حال بسیار مقاوم داشت. روش فازی تطبیقی معرفی شده با تنظیم پیوسته بهره‌های کنترل کننده می‌تواند در حالت گذار پاسخی سریع و در حالت دائم پاسخی مقاوم در برابر اغتشاش را برای سیستم تأمین کند.

## مراجع

- [1] K.P. Valavanis, G.J. Vachtsevanos, Handbook of unmanned aerial vehicles, Springer, 2015.
- [2] R. Mahony, V. Kumar, P. Corke, Multirotor aerial vehicles: Modeling, estimation, and control of quadrotor, IEEE Robotics and Automation magazine, 19(3) (2012) 20-32.
- [3] A. Tayebi, S. McGilvray, Attitude stabilization of a VTOL quadrotor aircraft, IEEE Transactions on control systems technology, 14(3) (2006) 562-571.
- [4] H. Bolandi, M. Rezaei, R. Mohsenipour, H. Nemati, S.M. Smailzadeh, Attitude control of a quadrotor with optimized PID controller, 21(4) (2013) 43-51.
- [5] V. Ghadiok, J. Goldin, W. Ren, On the design and development of attitude stabilization, vision-based navigation, and aerial gripping for a low-cost quadrotor, Autonomous Robots, 33(1) (2012) 41-68.
- [6] D. Lee, H.J. Kim, S. Sastry, Feedback linearization vs. adaptive sliding mode control for a quadrotor helicopter, International Journal of control, Automation and systems, 7(3) (2009) 419-428.
- [7] J.-F. Guerrero-Castellanos, J.J. Téllez-Guzmán, S. Durand, N. Marchand, J. Alvarez-Muñoz, V.R. Gonzalez-Díaz, Attitude stabilization of a quadrotor by means of event-triggered nonlinear control, Journal of Intelligent & Robotic Systems, 73(1) (2014) 123-135.
- [8] H. Liu, J. Xi, Y. Zhong, Robust attitude stabilization for nonlinear quadrotor systems with uncertainties and delays, IEEE Transactions on Industrial Electronics, 64(7) (2017) 5585-5594.
- [9] C. Nicol, C. Macnab, A. Ramirez-Serrano, Robust adaptive control of a quadrotor helicopter, Mechatronics, 21(6) (2011) 927-938.
- [10] X. Huo, M. Huo, H.R. Karimi, Attitude stabilization

- membership functions, IEEE/ASME Transactions on Mechatronics, 22(1) (2016) 339-348.
- [24] W. Dong, G.-Y. Gu, X. Zhu, H. Ding, Development of a quadrotor test bed—modelling, parameter identification, controller design and trajectory generation, International Journal of Advanced Robotic Systems, 12(2) (2015) 7.
- [25] W.-S. Yu, Adaptive Fuzzy PID Control for Nonlinear Systems with H<sup>sup/spl infin//</sup> Tracking Performance, in: 2006 IEEE International Conference on Fuzzy Systems, IEEE, 2006, pp. 1010-1015.
- International Journal of Fuzzy Logic and Intelligent Systems, 18(3) (2018) 204-213.
- [21] Y.-J. Ryoo, An autonomous control of fuzzy-PD controller for quadcopter, International Journal of Fuzzy Logic and Intelligent Systems, 17(2) (2017) 107-113.
- [22] A.A. Mian, W. Daobo, Modeling and backstepping-based nonlinear control strategy for a 6 DOF quadrotor helicopter, Chinese Journal of Aeronautics, 21(3) (2008) 261-268.
- [23] E. Kayacan, R. Maslim, Type-2 fuzzy logic trajectory tracking control of quadrotor VTOL aircraft with elliptic

چگونه به این مقاله ارجاع دهیم

H. Chehardoli, A. Ghasemi, S. Fardrahnana, Attitude Stabilization of Quadrotor Using Adaptive Fuzzy Proportional Integral Derivative Controller. AmirKabir J. Mech Eng., 53(special issue 2) (2021) 1081-1094.

DOI: [10.22060/mej.2020.16893.6468](https://doi.org/10.22060/mej.2020.16893.6468)

